

## ЭФФЕКТ ЗАПИРАНИЯ ЭЛЕКТРОНОВ В ФОТОПРЕОБРАЗОВАТЕЛЯХ ПРИ ВЫСОКОЙ ИНТЕНСИВНОСТИ ОСВЕЩЕНИЯ

Епифанов М. С., Шипилин А. В., Шленский В. Н.

Рассмотрена одномерная численная модель полупроводникового фотоэлектрического преобразователя с учетом отклонения от приближения квазинейтральности, а также нелинейной рекомбинации неравновесных носителей заряда (ННЗ). Показано, что в  $n^+ - p - p^+$ -слое на основе кремния при высоком уровне возбуждения в режиме короткого замыкания (КЗ) область с пониженной концентрацией ННЗ находится не вблизи  $n^+ - p$ -перехода, как при низком уровне возбуждения, а вблизи  $p - p^+$ -перехода. При некотором промежуточном уровне возбуждения концентрация ННЗ снижается вблизи как  $n^+ - p$ , так и  $p + p^+$ -переходов, что может быть использовано для увеличения КПД преобразования за счет повышения коэффициента сопротивления ННЗ.

На рис. 1 приведена ступенчатая структура с тонкими приповерхностными сильно легированными  $n^+$ - и  $p^+$ -слоями (толщинами  $w_n$  и  $w_p$  соответственно) и базовой областью  $n$ - или  $p$ -типа (толщиной  $w$ ). На внешних сторонах  $n^+$ - и  $p^+$ -областей имеются металлические контакты ( $M$ ).

Для описания распределения носителей заряда в структуре использована следующая система уравнений:

$$\begin{aligned} \frac{1}{q} \frac{d j_n}{dx} &= R - G, \quad \frac{1}{q} j_n = D_n \frac{dn}{dx} - \mu_n \frac{d\varphi}{dx} n, \\ \frac{1}{q} \frac{d j_p}{dx} &= G - R, \quad \frac{1}{q} j_p = -D_p \frac{dp}{dx} - \mu_p \frac{d\varphi}{dx} p, \\ \frac{1}{q} \frac{d^2 \varphi}{dx^2} &= \frac{4\pi}{\epsilon} (n - p - N), \\ R &= (n - n_0) (A/2 + C_p p^2) + (p - p_0) (A/2 + C_n n^2) \end{aligned}$$

с граничными условиями

$$\begin{aligned} \frac{1}{q} j_n (-w_n) &= J + S_n (p - p_0), \quad \frac{1}{q} j_p (-w_n) = -S_n (p - p_0), \\ \frac{1}{q} j_n (w + w_p) &= -S_p (n - n_0), \quad \frac{1}{q} j_p (w + w_p) = J + S_p (n - n_0), \\ \varphi (-w_n) &= 0, \quad \varphi (w + w_p) = \varphi_{\infty}, \end{aligned}$$

где  $n$ ,  $p$  — полные концентрации электронов и дырок соответственно;  $n_0$ ,  $p_0$  — их равновесные концентрации;  $D_n$ ,  $D_p$  — коэффициенты диффузии;  $\mu_n$ ,  $\mu_p$  — подвижности;  $A$ ,  $C_n$  и  $C_p$  — коэффициенты линейной и оже-рекомбинаций;  $S_n$  и  $S_p$  — скорости поверхностной рекомбинации на контактах к  $n^+$ - и  $p^+$ -областям соответственно;  $j_n$  и  $j_p$  — плотности электронного и дырочного токов;  $J = j_n + j_p$  — полная плотность тока;  $G$  и  $R$  — скорости генерации и рекомбинации ННЗ;  $N$  — концентрация связанных носителей заряда (предполагается равной концентрации нескомпенсированной мелкой примеси);  $N = N_D - N_A$ ;  $\varphi$  — электростатический потенциал;  $q$  — заряд электрона;  $\epsilon$  — диэлектрическая проницаемость.

Величина  $G$  предполагалась постоянной, не зависящей от координаты  $x$ , что соответствует случаю высоковольтного матричного фотоэлектрического преобразователя [1].

Представленная краевая задача решалась численно с использованием итерационного метода Гуммеля [2]. При этом использовались специальные аппроксимации дифференциальных уравнений, позволяющие рассчитывать уравнения на  $n^+ - p$ - и  $p - p^+$ -переходах [3, 4] со сгущением сетки в этих областях.

На рис. 2 представлены результаты расчета распределения ННЗ в структуре для трех интенсивностей освещения при следующих исходных параметрах:  $\mu_n = 1500$ ,  $\mu_p = 600 \text{ см}^2/\text{В} \cdot \text{с}$ ;  $w_n = w_p = 1.1$ ,  $w = 110 \text{ мкм}$ ;  $S_n = 2 \cdot 10^4$ ,  $S_p = 2 \cdot 10^4 \text{ см}/\text{с}$ ;  $C_n = 2 \cdot 10^{-31}$ ,  $C_p = 10^{-31} \text{ см}^6/\text{с}$ ; в базовой области  $A = 2 \cdot 10^6 \text{ с}^{-1}$ ,  $p_0 = -N = 10^{14} \text{ см}^{-3}$ ; в  $n^+$ -слое  $A = 4 \cdot 10^6 \text{ с}^{-1}$ ,  $n_0 = N = 10^{18} \text{ см}^{-3}$ ; в  $p^+$ -слое  $A = 4 \cdot 10^6 \text{ с}^{-1}$ ,  $p_0 = -N = 10^{18} \text{ см}^{-3}$ .

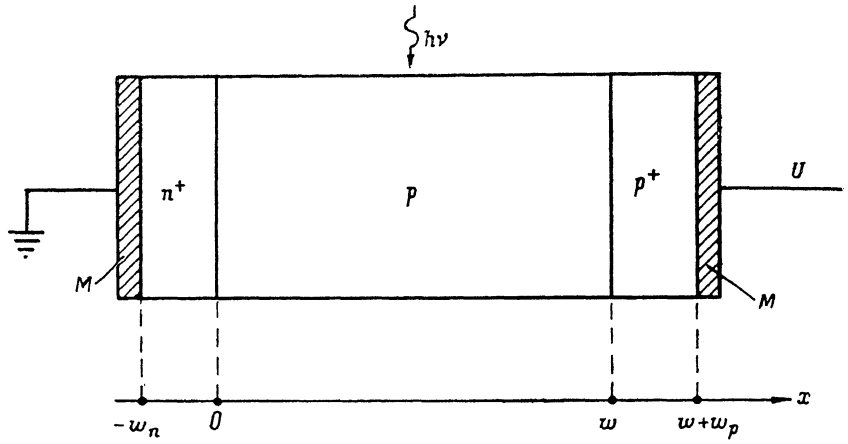


Рис. 1. Схема фотопреобразователя.

Как видно из рис. 2, распределения ННЗ при низком и высоком уровнях освещения существенно различаются, а именно если при низком уровне освещения концентрация ННЗ в режиме короткого замыкания резко снижается при приближении из объема базовой области к  $n^+ - p$ -переходу, то при высоком уровне освещения — при приближении к  $p - p^+$ -переходу. Аналогичное поведение распределения ННЗ наблюдается и в режиме, соответствующем рабочей точке ВАХ ФП. Такое изменение характера распределения ННЗ с интенсивностью освещения обусловлено различием подвижностей электронов и дырок в кремнии и возникновением ЭДС Дембера.

Указанный эффект «запирания» электронов приводит к двум важным следствиям.

1. При высокой интенсивности освещения в отличие от низкой на величину тока короткого замыкания влияет качество не  $p - p^+$ , а  $n^+ - p$ -перехода.

2. При некоторой промежуточной интенсивности освещения концентрация ННЗ в режиме КЗ и в рабочей точке ВАХ снижается при приближении как к  $n^+ - p$ , так и к  $p - p^+$ -переходам. Уменьшенная концентрация ННЗ вблизи обеих границ базовой области приводит к снижению рекомбинации на этих границах, т. е. к повышению КПД. В этом промежуточном режиме освещения происходит также относительное ослабление влияния объемной рекомбинации в базовой области ФП. Действительно, собираемый ННЗ из объема базовой области ФП при любом уровне возбуждения определяется диффузией носителей заряда (хотя и с разными коэффициентами диффузии при различных уровнях возбуждения). При низком и высоком уровнях освещения собирающим является только один переход, поскольку только около него концентрация ННЗ существенно снижается (до нуля в режиме короткого замыкания). В промежуточном же режиме концентрация ННЗ в режиме КЗ и в рабочем режиме существенно снижается вблизи обеих границ базовой области, т. е. в результате диф-

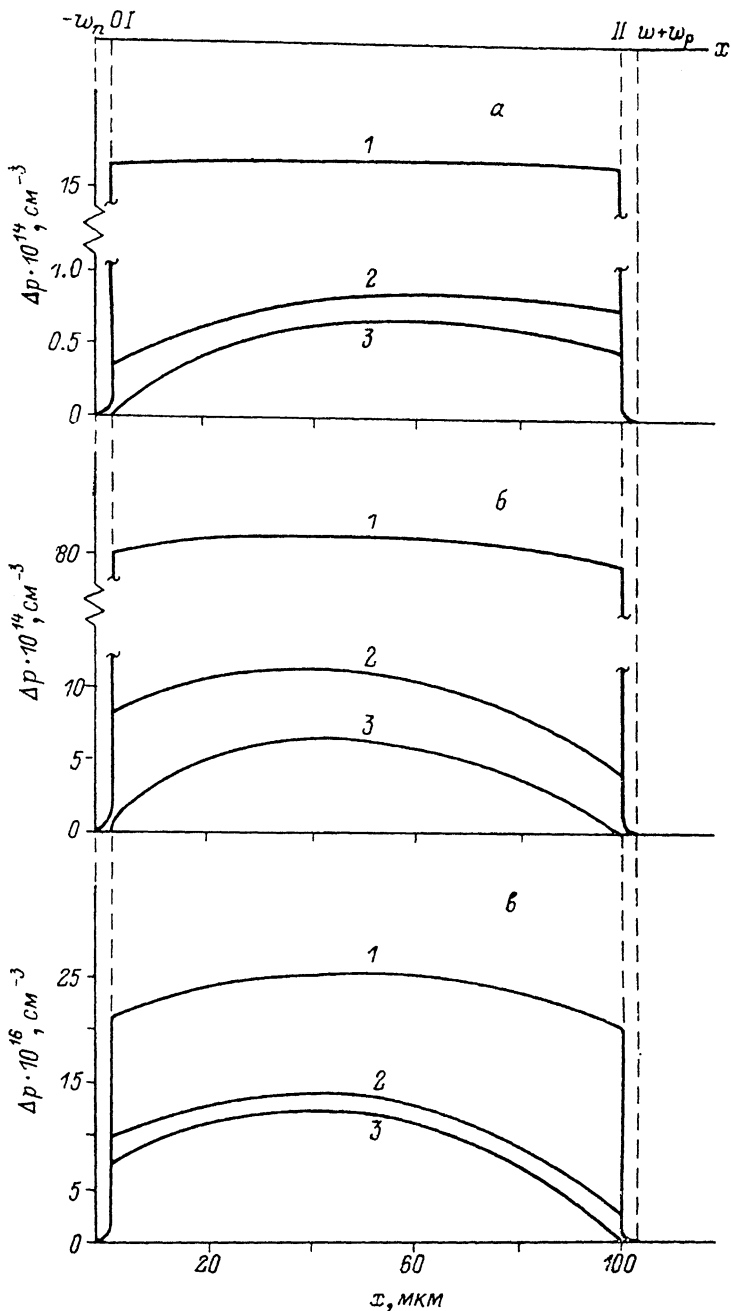


Рис. 2. Распределение зарядов в ФП.

Режим: а — слабого, б — промежуточного, в — сильного возбуждений. 1 соответствует режиму холостого газа ВАХ ФП, 2 — рабочей точке ВАХ, 3 — режиму короткого замыкания. Сечения I и II относятся к переходам: I —  $n^+—p$ , II —  $p—p^+$ .

фузии носители заряда из объема базовой области перемещаются к обоим переходам, которые являются собирающими.

На рис. 3 показана зависимость коэффициента собирания и условного КПД преобразования (в предположении, что энергия фотона преобразуемого излучения равна ширине запрещенной зоны кремния) от скорости генерации ННЗ. Видно, что в области промежуточных интенсивностей освещения наблюдаются максимум коэффициента собирания и КПД преобразования ФП.

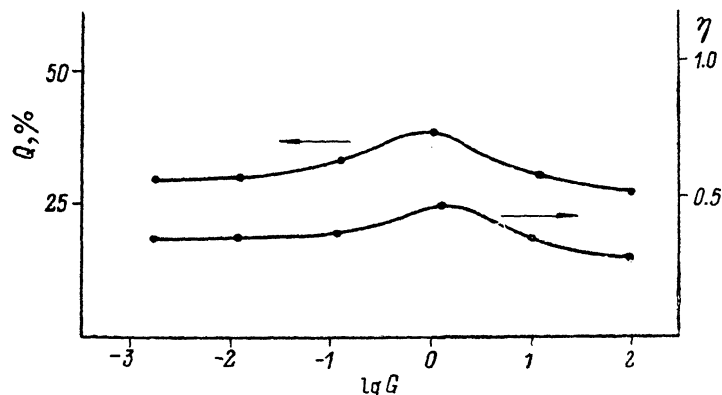


Рис. 3. Зависимость коэффициента собирания  $Q$  и КПД ФП от скорости генерации ННЗ  $G$ .

Значения  $G$  отнесены к  $2 \cdot 10^{21} \text{ см}^{-3} \cdot \text{с}^{-1}$ .

Таким образом, показано, что в промежуточном режиме освещения путем подбора интенсивности освещения при фиксированном уровне легирования базовой области ФП или уровня легирования при фиксированной интенсивности можно существенно повысить КПД преобразования ФП.

#### Список литературы

- [1] Ландсман А. П., Стребков Д. С. // Гелиотехника. 1970. № 2. С. 21—23.
- [2] Gummel H. K. // IEEE Trans. 1964. V. ED-11. P. 455—465.
- [3] Scharfetter D. L., Gummel H. K. // IEEE Trans. 1969. V. ED-16. P. 64—67.
- [4] Майоров С. А., Руденко А. А., Шипилин А. В. // Журн. вычисл. матем. и матем. физ. 1980. Т. 20. В. 1. С. 112—120.

Вычислительный центр АН СССР  
Москва

Получена 21.02.1990  
Принята к печати 23.02.1990